

تحلیل سه بعدی محیط نیمه بینهایت با رفتار ایزوتروپ جانبی تحت اثربار مماض بر سطح در فضای فرکانسی

علی خجسته

دانشجوی دکتری دانشکده مهندسی عمران - پردیس دانشکده های فنی - دانشگاه تهران

محمد رحیمیان*

دانشیار دانشکده مهندسی عمران - پردیس دانشکده های فنی - دانشگاه تهران

مرتضی اسکندری قادری

استادیار گروه مهندسی عمران - دانشگاه علوم و فنون مازندران

(تاریخ دریافت ۸۴/۶/۲۶، تاریخ تصویب ۸۵/۴/۳)

چکیده

در این مقاله پاسخ محیط نیمه بینهایت با رفتار ایزوتروپ جانبی^۱ تحت اثر تحریک هارمونیک مماض بر سطح آزاد محیط در حالت سه بعدی بدست می‌آید. این پاسخ مربوط به امواج منتشر شونده از محل تحریک به سمت محیط می‌باشد. معادلات تعادل دینامیکی حاکم بر مسئله در دستگاه مختصات استوانه‌ای (r, θ, z) بصورت یک سری معادلات درگیر^۲ می‌باشد. با استفاده از دوتابع پتانسیل^۳ که توسط اسکندری قادری در سال ۲۰۰۵ برای مسائل الاستودینامیک^۴ ارائه گردیده است، این معادلات بطور کامل مجزا سازی می‌شوند. با نوشتن توابع پتانسیل بصورت سری مختلف فوریه^۵ در امتداد θ و استفاده از تبدیل هنکل^۶ در امتداد شعاعی جواب تحلیلی برای توابع پتانسیل در فضای هنکل بدست می‌آید. میدان تغییر مکان با استفاده از ارتباط مولفه‌های بردار تغییر مکان و توابع پتانسیل در فضای هنکل بدست می‌آید. در انتها نتایج در محدوده وسیع فرکانسی و بصورت گرافیکی ارائه می‌شود. نتایج برای محیط‌های ایزوتروپ با استفاده از نتایج بدست آمده برای محیط‌های ایزوتروپ جانبی بدست آمده و با نتایج موجود برای محیط‌های ایزوتروپ مقایسه می‌گردد. نتایج عددی مختلف برای مولفه‌های تغییر مکان به منظور نشان دادن تأثیر فرکانس تحریک و میزان نایزوتروپی مصالح بر پاسخ ارائه گردیده است. میدان تغییر مکان بدست آمده برای حل بسیاری از مسائل الاستودینامیک و همچنین به عنوان هسته^۷ برای حل معادلات انتگرال مرزی کاربرد دارد.

واژه‌های کلیدی : توابع پتانسیل - تغییر مکان - انتشار امواج - محیط ایزوتروپ جانبی - تبدیل هنکل - بسط فوریه - نقاط شاخه‌ای^۸ - قطب^۹

مقدمه

Aki^[۱] در سال ۱۹۷۳ Achenbach^[۲] در سال ۱۹۸۰ و Richards^[۳] در سال ۱۹۸۷ و Luco^[۴] در سال ۱۹۸۰ و Apsel^[۵] در سال ۱۹۸۳ Pak^[۶] در سال ۱۹۸۷.

انتشار امواج در محیط‌های ناهمسان^{۱۰} نیز در گذشته مورد توجه قرار گرفته است. در حال حاضر با توجه به استفاده روز افزون از مواد ناهمسان نیاز به تحقیقات در زمینه انتشار امواج در این محیط‌ها بیشتر احساس می‌شود. برای مثال مواد کامپوزیت که در سال های اخیر در زمینه علوم و مهندسی کاربرد گسترده‌ای یافته‌اند دارای خاصیت ناهمسانی می‌باشند. از سوی دیگر در زمین هایی که حاک تحت اثر نیروی ثقل رسوب کرده است و نهشته‌های طبیعی سربار شده روی هم تشکیل

انتشار امواج در یک محیط ناشی از بارگذاری خارجی از جمله مباحثی بوده است که در قرن گذشته بسیاری از محققان و مهندسان در زمینه ریاضیات کاربردی و مکانیک مهندسی را به خود جلب کرده است. مقاله پایه‌ای در زمینه انتشار امواج مربوط به Lamb^[۷] و در سال ۱۹۰۴ می‌باشد. او در این مقاله، انتشار امواج ناشی از یک بار هارمونیک وارد بر یک محیط ایزوتروپ و ارتجاعی نیمه بینهایت را بررسی کرده است و میدان تغییر مکان را در دو حالت دو بعدی و سه بعدی بدست آورده است. بعد از Lamb محققان زیادی در زمینه انتشار امواج در محیط‌های ایزوتروپ تحقیق کرده‌اند و تحقیقات گسترده‌ای را ارائه کرده‌اند که از آن جمله

با برآیند واحد در جهت افقی (مماض بر سطح) موثر بر سطح دایره‌ای به شعاع a در محدوده وسیع فرکانسی و بصورت گرافیکی ارائه می‌شود.

بیان مسئله و معادلات حاکم

محیط نیمه متناهی ارجاعی با رفتار ایزوتrop پجانبی را در دستگاه مختصات استوانه‌ای (r, θ, z) چنان در نظر می‌گیریم که محور z عمود بر صفحه ایزوتropی باشد. در اینصورت معادلات تعادل دینامیکی بر حسب تنش‌ها بصورت زیر نوشته می‌شوند [۸].

$$\begin{aligned} \frac{\partial \sigma_{rr}}{\partial r} + \frac{1}{r} \frac{\partial \sigma_{\theta r}}{\partial \theta} + \frac{1}{r} (\sigma_{rr} - \sigma_{\theta \theta}) + \frac{\partial \sigma_{rz}}{\partial z} &= \rho \frac{\partial^2 U}{\partial t^2} \\ \frac{\partial \sigma_{r\theta}}{\partial r} + \frac{1}{r} \frac{\partial \sigma_{\theta\theta}}{\partial \theta} + \frac{2}{r} \sigma_{r\theta} + \frac{\partial \sigma_{z\theta}}{\partial z} &= \rho \frac{\partial^2 V}{\partial t^2}, \\ \frac{\partial \sigma_{rz}}{\partial r} + \frac{1}{r} \frac{\partial \sigma_{\theta z}}{\partial \theta} + \frac{1}{r} \sigma_{rz} + \frac{\partial \sigma_{zz}}{\partial z} &= \rho \frac{\partial^2 W}{\partial t^2} \end{aligned} \quad (1)$$

که در آن σ_{ij} ($i, j = r, \theta, z$) تانسور تنش^{۱۶} و U , V و W مولفه‌های بردار تغییر مکان به ترتیب در امتدادهای z, θ, r می‌باشند. ρ جرم مخصوص محیط و t معرف زمان می‌باشد. رابطه تنش - کرنش در مصالح ایزوتrop پجانبی بصورت زیر است:

$$\begin{aligned} \sigma_{rr} &= A_{11}\varepsilon_{rr} + A_{12}\varepsilon_{\theta\theta} + A_{13}\varepsilon_{zz}, \\ \sigma_{\theta\theta} &= A_{12}\varepsilon_{rr} + A_{11}\varepsilon_{\theta\theta} + A_{13}\varepsilon_{zz}, \\ \sigma_{zz} &= A_{13}\varepsilon_{rr} + A_{13}\varepsilon_{\theta\theta} + A_{33}\varepsilon_{zz}, \\ \sigma_{rz} &= 2A_{44}\varepsilon_{rz}, \sigma_{\theta z} = 2A_{44}\varepsilon_{\theta z}, \\ \sigma_{r\theta} &= 2A_{66}\varepsilon_{r\theta} \end{aligned} \quad (2)$$

که در آن A_{ij} ($i, j = r, \theta, z$) ثابت‌های ارجاعی بوده و داریم :

$$A_{66} = \frac{A_{11} - A_{12}}{2} \quad (3)$$

برای حالت مصالح ایزوتrop ضرایب ارجاعی A_{11} تا A_{66} بر حسب ضرایب لامه^{۱۷} λ و μ عبارتند از

$$\begin{aligned} A_{11} &= A_{33} = \lambda + 2\mu, \quad A_{12} = A_{13} = \lambda, \\ A_{44} &= A_{66} = \mu \end{aligned} \quad (4)$$

اگر E معرف مدول یانگ در صفحه ایزوتropی، E' معرف مدول یانگ عمود بر صفحه ایزوتropی، ν معرف ضریب پواسون در صفحه ایزوتropی (جمع شدگی در صفحه

داده است خاصیت ناهمسانی وجود دارد. اما با توجه به ملاحظات کاربردی در زمینه مهندسی محیط‌های ناهمسان معمولاً بصورت ایزوتrop پجانبی و یا ارتوتروپ^{۱۸} مدل می‌شوند. یکی از بررسی‌های اولیه در زمینه انتشار امواج در محیط‌های ایزوتrop پجانبی توسط Stonely و در سال ۱۹۴۹ [۱۵] انجام گرفته است. او نشان داد که وجود مواد با خاصیت ایزوتrop پجانبی می‌تواند منجر به تفاوت‌های قابل توجهی در زمینه انتشار امواج نسبت به مواد ایزوتrop گردد. Synge در سال ۱۹۵۷ [۱۶]، انتشار امواج ریلی^{۱۹} در محیط‌های ایزوتrop پجانبی را بررسی کرده است و نتیجه گرفته که این امواج فقط در صورتی در این محیط‌ها منتشر می‌شوند که محور ایزوتropی محیط یا عمود بر سطح آزاد و یا موازی این سطح باشد. همچنین او بیان داشته است که امواج ریلی معمولی (در محیط‌های ایزوتrop) موازی سطح آزاد محیط منتشر می‌شوند در حالی که امواج ریلی کلی (در محیط‌های ناهمسان) می‌توانند با شبیه نسبت به سطح آزاد منتشر شوند. Wang و Rajapakse در سال ۱۹۹۱ [۱۲] تغییر مکان‌ها و تنش‌های ناشی از ارتعاش هارمونیک یک جسم صلب دریک محیط ارتوتروپ دو بعدی را بدست آورده‌اند. همچنین آنها تغییر مکان‌ها و تنش‌های ناشی از ارتعاش هارمونیک نیروی موثر بر پیرامون یک دایره مدفون دریک محیط ایزوتrop پجانبی را در حالت سه بعدی تعیین کرده‌اند [۱۳]. آنها دستگاه معادلات حرکت را با استفاده از سه تابع پتانسیل به دو معادله درگیر و یک معادله مستقل تبدیل کرده و معادلات بدست آمده را با استفاده از تبدیلات انتگرالی^{۱۳} حل کرده‌اند. در این مقاله این محیط تحت اثر نیروی هارمونیک مماس بر سطح مورد توجه قرار گرفته است و با استفاده از دو تابع پتانسیل که توسط اسکندری قادی و در سال ۲۰۰۵ [۶] ارائه گردیده است معادلات تعادل دینامیکی به طور کامل مجزا سازی می‌شوند. با استفاده از بسط فوریه در امتداد θ و استفاده از تبدیل هنکل در امتداد شعاعی در دستگاه مختصات استوانه‌ای، مسئله تبدیل به حل دو معادله دیفرانسیل معمولی کاملاً مجزا از هم برای توابع پتانسیل در فضای تبدیل یافته^{۱۴} هنکل می‌شود. برای بدست آوردن جواب‌ها در فضای واقعی^{۱۵} باید از جواب‌های تحلیلی بدست آمده در فضای تبدیل یافته بصورت عددی انتگرال‌گیری کنیم. در انتها پاسخهای مختلف ناشی از بار گستردگی یکنواخت

$$\left(\frac{\partial^2 U}{\partial r \partial z} + \frac{1}{r} \frac{\partial U}{\partial z} \right) + (A_{13} + A_{44}) \frac{1}{r} \frac{\partial^2 V}{\partial \theta \partial z} = \rho \frac{\partial^2 W}{\partial t^2} \quad (7)$$

توابع پتانسیل

معادلات حرکت (7) یک دستگاه معادلات دیفرانسیل درگیر با مشتقات جزیی می‌باشند. به منظور مجزا سازی این معادلات از دو تابع پتانسیل F و χ استفاده شده است. مولفه‌های بردار تغییر مکان بر حسب توابع پتانسیل F و χ در دستگاه مختصات استوانه‌ای و در حالت دینامیکی به صورت زیر نوشته می‌شوند [۶]

$$\begin{aligned} U &= -\alpha_3 \frac{\partial^2 F}{\partial r \partial z} - \frac{1}{r} \frac{\partial \chi}{\partial \theta} \\ V &= -\alpha_3 \frac{1}{r} \frac{\partial^2 F}{\partial \theta \partial z} + \frac{\partial \chi}{\partial r} \\ W &= (1 + \alpha_1) \left[\nabla^2_{rz} + \beta \frac{\partial^2}{\partial z^2} - \frac{\rho_0}{1 + \alpha_1} \frac{\partial^2}{\partial t^2} \right] F \end{aligned} \quad (8)$$

که در آن

$$\begin{aligned} \beta &= \frac{\alpha_2}{1 + \alpha_1}, \rho_0 = \frac{\rho}{A_{66}}, \nabla^2_{rz} = \frac{\partial^2}{\partial r^2} + \frac{1}{r} \frac{\partial}{\partial r} + \frac{1}{r^2} \frac{\partial^2}{\partial \theta^2} \\ \alpha_1 &= \frac{A_{66} + A_{12}}{A_{66}}, \alpha_2 = \frac{A_{44}}{A_{66}}, \alpha_3 = \frac{A_{13} + A_{44}}{A_{66}} \end{aligned} \quad (9)$$

اما با فرض هارمونیک بودن حرکت می‌توان تابع پتانسیل و مولفه‌های بردار تغییر مکان را به شرح زیر نوشت

$$\begin{aligned} U, V, W(r, \theta, z, t) &= [u, v, w(r, \theta, z)] e^{i\omega t} \\ F, \chi(r, \theta, z, t) &= [F, \chi(r, \theta, z)] e^{i\omega t}, \text{ etc.} \end{aligned} \quad (10)$$

بطوری که ω فرکانس زاویه‌ای حرکت هارمونیک و w دامنه‌های مولفه‌های بردار تغییر مکان به ترتیب در امتدادهای r ، θ و z می‌باشند. با جایگزینی روابط (10)

در (8) می‌توان نوشت:

$$\begin{aligned} u &= -\alpha_3 \frac{\partial^2 F}{\partial r \partial z} - \frac{1}{r} \frac{\partial \chi}{\partial \theta} \\ v &= -\alpha_3 \frac{1}{r} \frac{\partial^2 F}{\partial \theta \partial z} + \frac{\partial \chi}{\partial r} \\ w &= (1 + \alpha_1) \left[\nabla^2_{rz} + \beta \frac{\partial^2}{\partial z^2} + \frac{\rho_0}{1 + \alpha_1} \omega^2 \right] \end{aligned} \quad (11)$$

ایزوتروپی به علت کشش در همین صفحه)،^۷ معرف ضریب پواسون عمود بر صفحه ایزوتروپی (جمع شدگی عمود بر صفحه ایزوتروپی به علت کشش در این صفحه)، معرف مدول برشی در صفحه ایزوتروپی و G' معرف مدول برشی در صفحات عمود بر صفحه ایزوتروپی باشد در این صورت خواهیم داشت:

$$\begin{aligned} A_{11} &= \frac{E(1 - \frac{E'}{E} v'^2)}{(1 + v)(1 - v - 2 \frac{E}{E'} v'^2)}, A_{13} = \frac{Ev'}{1 - v - 2 \frac{E}{E'} v'^2}, \\ A_{33} &= \frac{E'(1 - v)}{1 - v - 2 \frac{E}{E'} v'^2}, \\ A_{44} &= G', A_{66} = \frac{E}{2(1 + v)} = G \end{aligned} \quad (5)$$

همچنین رابطه کرنش - تغییر مکان در دستگاه مختصات استوانه‌ای به شرح زیر است [۹]

$$\begin{aligned} \varepsilon_{rr} &= \frac{\partial U}{\partial r}, \varepsilon_{\theta\theta} = \frac{1}{r} \left(\frac{\partial V}{\partial \theta} + U \right), \varepsilon_{zz} = \frac{\partial W}{\partial z}, \\ \varepsilon_{rz} &= \frac{1}{2} \left(\frac{\partial U}{\partial z} + \frac{\partial W}{\partial r} \right), \varepsilon_{\theta z} = \frac{1}{2} \left(\frac{1}{r} \frac{\partial W}{\partial \theta} + \frac{\partial V}{\partial z} \right), \\ \varepsilon_{r\theta} &= \frac{1}{2} \left(\frac{1}{r} \frac{\partial U}{\partial \theta} + \frac{\partial}{\partial r} \left(\frac{V}{r} \right) \right) \end{aligned} \quad (6)$$

با قرار دادن رابطه (6) در رابطه (2)، تنش‌ها بر حسب تغییر مکان‌ها بدست می‌آیند. با قرار دادن روابط تنش - تغییر مکان در معادلات (1)، معادلات تعادل دینامیکی بر حسب مولفه‌های بردار تغییر مکان به صورت زیر بدست می‌آیند:

$$\begin{aligned} A_{11} \left(\frac{\partial^2 U}{\partial r^2} + \frac{1}{r} \frac{\partial U}{\partial r} - \frac{U}{r^2} \right) + \frac{A_{11} - A_{12}}{2} \frac{1}{r^2} \frac{\partial^2 U}{\partial \theta^2} + A_{44} \\ \frac{\partial^2 U}{\partial z^2} + \frac{A_{11} + A_{12}}{2} \left(\frac{1}{r} \frac{\partial^2 V}{\partial r \partial \theta} + \frac{1}{r^2} \frac{\partial V}{\partial \theta} \right) - 2A_{11} \frac{1}{r^2} \frac{\partial V}{\partial \theta} \\ + (A_{13} + A_{44}) \frac{\partial^2 W}{\partial r \partial z} = \rho \frac{\partial^2 W}{\partial t^2}, \\ \frac{A_{11} - A_{12}}{2} \left(\frac{\partial^2 V}{\partial r^2} + \frac{1}{r} \frac{\partial V}{\partial r} - \frac{V}{r^2} \right) + A_{11} \frac{1}{r^2} \frac{\partial^2 V}{\partial \theta^2} + A_{44} \\ \frac{\partial^2 V}{\partial z^2} + \frac{A_{11} + A_{12}}{2} \left(\frac{1}{r} \frac{\partial^2 U}{\partial r \partial \theta} - \frac{1}{r^2} \frac{\partial U}{\partial \theta} \right) + 2A_{11} \frac{1}{r^2} \frac{\partial U}{\partial \theta} \\ + (A_{13} + A_{44}) \frac{1}{r} \frac{\partial^2 W}{\partial \theta \partial z} = \rho \frac{\partial^2 V}{\partial t^2}, A_{33} \frac{\partial^2 W}{\partial z^2} + \\ A_{44} \left(\frac{\partial^2 W}{\partial r^2} + \frac{1}{r} \frac{\partial W}{\partial r} + \frac{1}{r^2} \frac{\partial^2 W}{\partial \theta^2} \right) + (A_{13} + A_{44}) \end{aligned}$$

با قرار دادن روابط (۱۷) و (۱۸) به ترتیب در معادلات (۱۲) و (۱۳) این معادلات بصورت زیر نوشته می‌شوند

$$\left[\nabla_{1m}^2 \nabla_{2m}^2 + \varepsilon \omega^2 \frac{\partial^2}{\partial z^2} \right] F_m(r, z) = 0 \quad (20)$$

$$\nabla_{0m}^2 \chi_m(r, z) = 0 \quad (21)$$

که در آن

$$\begin{aligned} \nabla_{im}^2 &= \frac{\partial^2}{\partial r^2} + \frac{1}{r} \frac{\partial}{\partial r} - \frac{m^2}{r^2} + \frac{1}{S_i^2} \frac{\partial^2}{\partial z^2} + \frac{1}{\mu_i} \rho_0 \omega^2, \\ i &= (0, 1, 2) \end{aligned} \quad (22)$$

با توجه به هندسه و شرایط مرزی مسئله بسیار مناسب می‌باشد که از تبدیل هنکل مرتبه m ام نسبت به امتداد شعاعی r به شرح زیر استفاده شود [۱۴]

$$F_m^m, \chi_m^m(\xi, z) = \int_0^\infty [F_m, \chi_m](r, z) r J_m(\xi r) dr \quad (23)$$

$$\begin{aligned} \text{که تبدیل معکوس } {}^{18} \text{ هنکل آن عبارتست از} \\ F_m, \chi_m(r, z) = \int_0^\infty [F_m^m, \chi_m^m(\xi, z)] \xi J_m(\xi r) d\xi \end{aligned} \quad (24)$$

که در آن J_m تابع بدل^{۱۹} نوع اول از مرتبه m می‌باشد. با قرار دادن رابطه (۲۳) در معادلات (۲۰) و (۲۱) این معادلات بصورت زیر درمی‌آیند:

$$\left[\bar{\nabla}_{1m}^2 \bar{\nabla}_{2m}^2 + \varepsilon \omega^2 \frac{d^2}{dz^2} \right] F_m^m(\xi, z) = 0 \quad (25)$$

$$\bar{\nabla}_{0m}^2 \chi_m^m(\xi, z) = 0 \quad (26)$$

که در آن

$$\bar{\nabla}_{im}^2 = \frac{\rho_0 \omega^2}{\mu_i} - \xi^2 + \frac{1}{S_i^2} \frac{d^2}{dz^2}, \quad (i = 0, 1, 2) \quad (27)$$

$$\begin{aligned} \text{معادله (۲۵) یک معادله دیفرانسیل معمولی درجه چهارم} \\ \text{با ضرایب ثابت می‌باشد و جواب آن به شکل زیر می‌باشد} \\ F_m^m(\xi, z) = e^{\lambda_m z} \end{aligned} \quad (28)$$

$$\begin{aligned} \text{با قرار دادن (۲۸) در (۲۵) می‌توان بدست آورد} \\ (\lambda_m^4 + a_2 \lambda_m^2 + a_0) e^{\lambda_m z} = 0 \end{aligned} \quad (29)$$

با قرار دادن روابط (۱۰) و (۱۱) در معادلات حرکت (۷)،
دو معادله دیفرانسیل کاملاً مستقل از هم حاکم بر توابع
پتانسیل F و χ بصورت زیر درمی‌آیند

$$\left[\nabla_1^2 \nabla_2^2 + \varepsilon \omega^2 \frac{\partial^2}{\partial z^2} \right] F = 0 \quad (12)$$

$$\nabla_0^2 \chi = 0 \quad (13)$$

$$\begin{aligned} \text{که در آن} \\ \nabla_i^2 = \nabla_{r\theta}^2 + \frac{1}{S_i^2} \frac{\partial^2}{\partial z^2} + \frac{1}{\mu_i} \rho_0 \omega^2 \quad (i = 0, 1, 2) \end{aligned} \quad (14)$$

$$\begin{aligned} \mu_0 = 1, \mu_1 = \alpha_2 = \frac{A_{44}}{A_{66}}, \mu_2 = 1 + \alpha_1 = \frac{A_{11}}{A_{66}} \\ \frac{\varepsilon}{\rho_0} = \left[\frac{A_{66}}{A_{11}} \left(1 + \frac{A_{33}}{A_{44}} \right) - \frac{1}{\mu_1 S_2^2} - \frac{1}{\mu_2 S_1^2} \right] \\ S_0^2 = \frac{1}{\alpha_2} = \frac{A_{66}}{A_{44}} \end{aligned} \quad (15)$$

$$\begin{aligned} \text{پارامترهای } S_1^2 \text{ و } S_2^2 \text{ ریشه‌های معادله زیر هستند} \\ A_{33} A_{44} S^4 + (A_{13}^2 + 2A_{13} A_{44} - A_{11} A_{33}) S^2 + \\ A_{11} A_{44} = 0 \end{aligned} \quad (16)$$

S_2 و S_1 می‌توانند اعداد مختلط باشند اما نمی‌توانند اعداد موهومی خالص باشند [۸]. به منظور حل معادلات (۱۲) و (۱۳)، می‌توان توابع F و χ را نسبت به θ به صورت سری فوریه نوشت. سری فوریه مختلط این توابع بصورت زیر هستند

$$F(r, \theta, z) = \sum_{m=-\infty}^{+\infty} F_m(r, z) e^{im\theta} \quad (17)$$

$$\chi(r, \theta, z) = \sum_{m=-\infty}^{+\infty} \chi_m(r, z) e^{im\theta} \quad (18)$$

که در آن F_m و χ_m ضرایب m سری فوریه توابع F و χ هستند [۱۴]

$$F_m, \chi_m(r, z) = \frac{1}{2\pi} \int_0^{2\pi} [F, \chi](r, \theta, z) e^{-im\theta} d\theta \quad (19)$$

می شود. نقاط شاخه ای متناظر با توابع $(i=1, 2, 3) \lambda_{mi}$ توسط معادله زیر بدست می آیند.

$$\lambda_{mi} = 0 \quad (i=1, 2, 3) \quad (36)$$

با قراردادن روابط (۳۲) و (۳۵) در رابطه (۳۶) نقاط شاخه ای متناظر با توابع λ_{mi} به صورت زیر بدست می آیند

$$\begin{aligned} \zeta_{\lambda_{m1}} &= \frac{\sqrt{\rho}\omega}{\sqrt{A_{11}}}, \zeta_{\lambda_{m2}} = \frac{\sqrt{\rho}\omega}{\sqrt{A_{44}}}, \\ \zeta_{\lambda_{m3}} &= \frac{\sqrt{\rho}\omega}{\sqrt{A_{66}}} \end{aligned} \quad (37)$$

به منظور تک مقداری کردن توابع λ_{mi} بریدگی های شاخه به گونه ای انتخاب می شوند که $\text{Re}(\lambda_{mi}) \geq 0$ باشد (شکل ۱). با انتخاب بریدگی های شاخه به صورت فوق و به منظور ارضای شرط تشعشع^{۲۴} جملات $e^{\lambda m_2 z}$ و $e^{\lambda m_1 z}$ در رابطه (۳۱) و جمله $e^{\lambda m_3 z}$ در رابطه (۳۴) حذف شده اند.

جواب کلی معادلات حرکت

مطابق شکل (۲) فرض می شود که نیروی هارمونیک دلخواه به شدت $f(r, \theta) e^{i\omega t}$ روی صفحه π_s در سطح اعمال می گردد. بر این اساس شرایط مرزی در سطح $z=0$ به صورت زیر می باشد

$$\begin{aligned} \sigma_{rz}(r, \theta, z=0, t) &= P(r, \theta) e^{i\omega t}, \\ \sigma_{z\theta}(r, \theta, z=0, t) &= Q(r, \theta) e^{i\omega t}, \\ \sigma_{zz}(r, \theta, z=0, t) &= R(r, \theta) e^{i\omega t}, \quad (r, \theta) \in \pi_s \end{aligned} \quad (38)$$

$$\sigma_{rz} = \sigma_{z\theta} = \sigma_{zz} = 0, \quad z=0, (r, \theta) \notin \pi_s \quad (39)$$

که در آن $P(r, \theta)$ و $Q(r, \theta)$ مولفه های بردار بارگذاری $f(r, \theta)$ به ترتیب در امتدادهای z, θ, r می باشند. همانطور که قبلًا گفته شد با فرض هارمونیک بودن حرکت و با استفاده از رابطه (۱۰) می توان شرایط مرزی را بصورت زیر نوشت

$$\begin{aligned} \sigma_{rz}(r, \theta, z=0) &= P(r, \theta), \\ \sigma_{z\theta}(r, \theta, z=0) &= Q(r, \theta), \end{aligned}$$

که در آن

$$\begin{aligned} a_2 &= S_1^2 \left(\frac{\rho_0 \omega^2}{\mu_1} - \xi^2 \right) + S_2^2 \left(\frac{\rho_0 \omega^2}{\mu_2} - \xi^2 \right) + \varepsilon \omega^2 S_1^2 S_2^2 \\ a_0 &= S_1^2 \left(\frac{\rho_0 \omega^2}{\mu_1} - \xi^2 \right) S_2^2 \left(\frac{\rho_0 \omega^2}{\mu_2} - \xi^2 \right) \end{aligned} \quad (30)$$

بنابراین $F_m^m(\xi, z)$ همانگونه که در رابطه (۲۸) نشان داده شده به صورت زیر در می آید

$$F_m^m(\xi, z) = A_m(\xi) e^{-\lambda_{m1} z} + B_m(\xi) e^{-\lambda_{m2} z} \quad (31)$$

که در آن

$$\begin{aligned} \lambda_{m1} &= \sqrt{a\xi^2 + b + \frac{1}{2}\sqrt{c\xi^4 + d\xi^2 + e}}, \\ \lambda_{m2} &= \sqrt{a\xi^2 + b - \frac{1}{2}\sqrt{c\xi^4 + d\xi^2 + e}} \end{aligned} \quad (32)$$

در اینجا

$$\begin{aligned} a &= \frac{1}{2}(S_1^2 + S_2^2), b = -\frac{1}{2}\rho\omega^2 \left(\frac{1}{A_{33}} + \frac{1}{A_{44}} \right), \\ c &= (S_2^2 - S_1^2)^2, d = -2\rho\omega^2 \left[\left(\frac{1}{A_{33}} + \frac{1}{A_{44}} \right)(S_1^2 + S_2^2) - 2\frac{A_{11}}{A_{33}} \left(\frac{1}{A_{11}} + \frac{1}{A_{44}} \right) \right], \\ e &= \rho^2\omega^4 \left(\frac{1}{A_{33}} - \frac{1}{A_{44}} \right)^2 \end{aligned} \quad (33)$$

به طور مشابه می توان نشان داد که جواب معادله (۲۶) عبارتست از

$$\chi_m^m(\xi, z) = C_m(\xi) e^{-\lambda_{m3} z} \quad (34)$$

که در آن

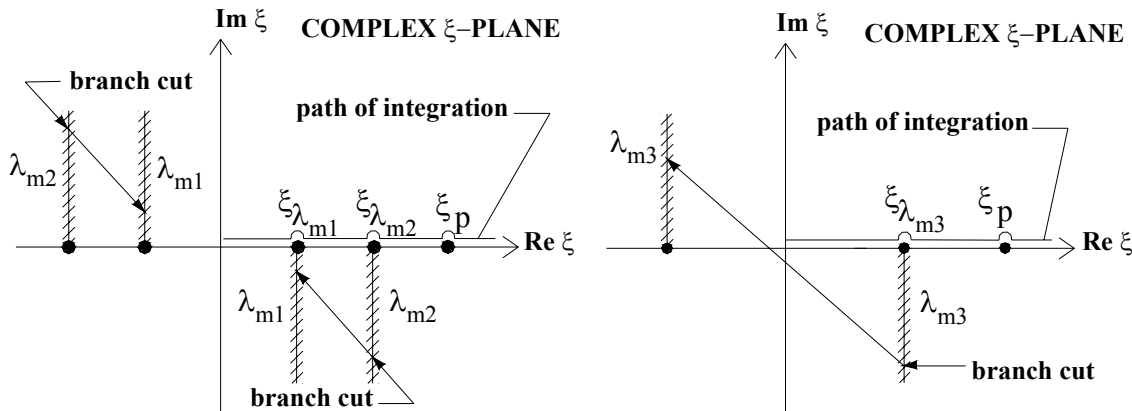
$$\lambda_{m3} = \sqrt{S_0^2(\xi^2 - \rho_0\omega^2)} \quad (35)$$

مجهول می باشند که با نوشتن شرایط مرزی بایستی بدست آیند. توابع $(\xi, \lambda_{m1}(\xi), \lambda_{m2}(\xi))$ و $\lambda_{m3}(\xi)$ توابعی چند مقداره هستند. هر تابع چند مقداره در واقع مجموعه ای از توابع تک مقداری^{۲۱} است. هر یک از اعضای این مجموعه یک بریدگی شاخه^{۲۲} از تابع چند مقداره نامیده می شود. نقطه تکین^{۲۳} مشترک بین همه بریدگی های شاخه برای تابع چند مقداره یک نقطه شاخه ای نامیده

تابع بارگذاری و مولفه‌های تانسور تنش را می‌توان بر حسب سری فوریه نوشت که در این صورت شرایط مرزی (۴۰) و (۴۱) بر حسب مولفه‌های تابع بارگذاری در فضای فوریه بصورت زیر در می‌آید

$$\sigma_{zz}(r, \theta, z=0) = R(r, \theta), \quad (r, \theta) \in \pi_s \quad (40)$$

$$\sigma_{rz} = \sigma_{z\theta} = \sigma_{zz} = 0, \quad z=0, (r, \theta) \notin \pi_s \quad (41)$$

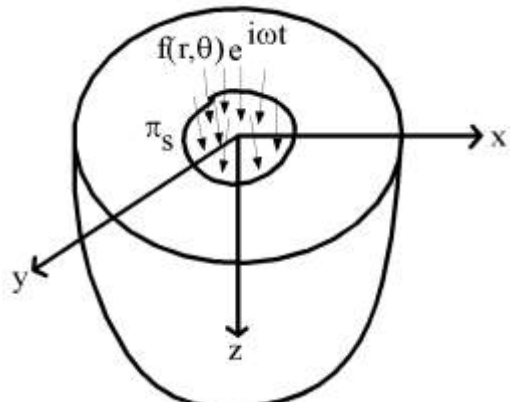


شکل ۱: بریدگی های شاخه برای λ_{m3} و λ_{m2} و λ_{m1} .

فضای فوریه می‌باشد. حال به منظور بدست آوردن توابع مجهول $A_m(\xi)$, $B_m(\xi)$, $C_m(\xi)$ در معادلات (۳۱) و (۳۴) باید تبدیل هنکل ضرایب سری فوریه تنش‌ها را بدست آورد. می‌توان نشان داد روابط زیر برای ضرایب سری فوریه تغییر مکانها در فضای تبدیل یافته هنکل برقرار است

$$\begin{aligned} u_m^{m-1} - iv_m^{m-1} &= -\alpha_3 \xi \frac{dF_m^m}{dz} - i \xi \chi_m^m \\ u_m^{m+1} + iv_m^{m+1} &= \alpha_3 \xi \frac{dF_m^m}{dz} - i \xi \chi_m^m \\ w_m^m &= (1 + \alpha_1)[-\xi^2 + \beta \frac{\partial^2}{\partial z^2} + \frac{\rho_0 \omega^2}{1 + \alpha_1}] F_m^m \end{aligned} \quad (44)$$

که در آن u_m^{m+1}, u_m^{m-1} به ترتیب تبدیل هنکل مرتبه v_m^{m+1}, v_m^{m-1} و u_m^{m+1} تابع u_m^{m-1} و مرتبه $m-1$ و تابع $m+1$ و مرتبه $m-1$ ترتیب تبدیل هنکل مرتبه $m+1$ و $m-1$ تابع m به ترتیب تبدیل هنکل مرتبه F_m^m, χ_m^m, W_m^m و V_m^m توابع F_m^m, χ_m^m, W_m^m و V_m^m می‌باشند. حال با توجه به روابط کرنش - تغییر مکان (۶) و روابط تنش - کرنش (۲) می‌توان مولفه‌های تانسور تنش را بر حسب توابع F_m^m و χ_m^m به شرح زیر نوشت:



شکل ۲: محیط نیمه بی نهایت با رفتار ایزوتروپ جانبی تحت اثر نیروی دلخواه $f(r, \theta)e^{i\omega t}$ موقت بر سطح محدود π_s

$$\begin{aligned} \sigma_{rz_m}(r, z=0) &= P_m(r) \\ \sigma_{z\theta_m}(r, z=0) &= Q_m(r), \\ \sigma_{zz_m}(r, z=0) &= R_m(r), \quad r \in \pi_s \end{aligned} \quad (42)$$

$$\sigma_{rz_m} = \sigma_{z\theta_m} = \sigma_{zz_m} = 0, \quad z=0, r \notin \pi_s \quad (43)$$

که در آن σ_{jzm} ($j=r, \theta, z$) مولفه‌های تانسور تنش در فضای فوریه و P_m, Q_m, R_m مولفه‌های بردار بارگذاری در

$$\begin{aligned} A_m &= \frac{1}{\xi I(\xi)} \left[\frac{-v_2}{2A_{44}} (X_m - Y_M) - \eta_2 \xi \frac{Z_m}{A_{33}} \right], \\ B_m &= \frac{1}{\xi I(\xi)} \left[+ \frac{v_1}{2A_{44}} (X_m - Y_M) + \eta_1 \xi \frac{Z_m}{A_{33}} \right], \\ C_m &= \frac{i(X_m + Y_M)}{2\xi \lambda_{m3} A_{44}} \end{aligned} \quad (49)$$

جایگذاری توابع A_m , B_m , C_m در معادلات (۴۴) منجر به روابط زیر می شود.

$$\begin{aligned} u_m^{m-1} - iv_m^{m-1} &= \Gamma_1(z, \xi) \left(\frac{X_m - Y_m}{2A_{44}} \right) + \\ &\quad \Gamma_2(z, \xi) \left(\frac{X_m + Y_m}{2A_{44}} \right) + \Gamma_3(z, \xi) \left(\frac{Z_m}{A_{44}} \right), \end{aligned}$$

$$\begin{aligned} u_m^{m+1} + iv_m^{m+1} &= -\Gamma_1(z, \xi) \left(\frac{X_m - Y_m}{2A_{44}} \right) + \\ &\quad \Gamma_2(z, \xi) \left(\frac{X_m + Y_m}{2A_{44}} \right) - \Gamma_3(z, \xi) \left(\frac{Z_m}{A_{44}} \right), \end{aligned}$$

$$w_m^m = \Lambda_1(z, \xi) \left(\frac{X_m - Y_m}{2A_{44}} \right) + \Lambda_2(z, \xi) \left(\frac{Z_m}{A_{44}} \right) \quad (50)$$

که در آن

$$\Gamma_1(z, \xi) = \frac{\alpha_3}{I} (v_1 \lambda_{m2} e^{-\lambda_{m2} z} - v_2 \lambda_{m1} e^{-\lambda_{m1} z}),$$

$$\Gamma_2(z, \xi) = \frac{e^{-\lambda_{m3} z}}{\lambda_{m3}},$$

$$\Gamma_3(z, \xi) = \frac{\alpha_3 A_{44} \xi}{A_{33} I} (\lambda_{m2} \eta_1 e^{-\lambda_{m2} z} - \lambda_{m1} \eta_2 e^{-\lambda_{m1} z}),$$

$$\Lambda_1(\xi, z) = \frac{(1+\alpha_1)}{\xi I} \{ [\frac{\rho_0 \omega^2}{1+\alpha_1} - \xi^2] [v_1 e^{-\lambda_{m2} z} -$$

$$v_2 e^{-\lambda_{m1} z}] + \frac{\alpha_2}{1+\alpha_1} [v_1 \lambda_{m2}^2 e^{-\lambda_{m2} z} - v_2 \lambda_{m1}^2 e^{-\lambda_{m1} z}] \},$$

$$\Lambda_2(\xi, z) = \frac{-A_{44}(1+\alpha_1)}{A_{33} I} \{ [\frac{\rho_0 \omega^2}{1+\alpha_1} - \xi^2] [\eta_2 e^{-\lambda_{m1} z} -$$

$$\eta_1 e^{-\lambda_{m2} z}] + \frac{\alpha_2}{1+\alpha_1} [\eta_2 \lambda_{m1}^2 e^{-\lambda_{m1} z} - \eta_1 \lambda_{m2}^2 e^{-\lambda_{m2} z}] \}$$

(51)

در اینجا

$$X_m = P_m^{m-1}(\xi) - iQ_{m-1}^m(\xi), \quad Y_m = P_m^{m+1}(\xi) + iQ_m^{m+1}(\xi),$$

$$Z_m = R_m^m(\xi), \quad I = \eta_2 v_1 - \eta_1 v_2$$

(52)

اگر A_{11} تا A_{66} برای مصالح ایزوتروپ بر حسب ضرایب λ و μ از رابطه (۴) جایگزین شوند، در این صورت روابط (۵۰) به شرح زیر در می آیند.

$$\begin{aligned} \sigma_{zr m}^{m-1} - i \sigma_{z\theta m}^{m-1} &= -A_{44} \xi \left[(\alpha_3 - \alpha_2) \frac{d^2}{dz^2} + \xi^2 \right. \\ &\quad \left. (1 + \alpha_1) - \rho_0 \omega^2 \right] F_m^m - A_{44} \xi i \frac{d \chi_m^m}{dz}, \\ \sigma_{zr m}^{m+1} + i \sigma_{z\theta m}^{m+1} &= A_{44} \xi \left[(\alpha_3 - \alpha_2) \frac{d^2}{dz^2} + \xi^2 \right. \\ &\quad \left. (1 + \alpha_1) - \rho_0 \omega^2 \right] F_m^m - A_{44} \xi i \frac{d \chi_m^m}{dz}, \\ \sigma_{zz m}^m &= \frac{d}{dz} \left[\alpha_3 A_{13} \xi^2 + A_{33} (\rho_0 \omega^2 - \xi^2 (1 + \alpha_1)) + \right. \\ &\quad \left. A_{33} \alpha_2 \frac{d^2}{dz^2} \right] F_m^m \end{aligned} \quad (45)$$

که در آن $\sigma_{z\theta m}^{m+1}$ و $\sigma_{rz m}^{m-1}$ و ... تبدیل هنکل مرتبه $m-1$ و ... ضرایب m سری فوریه مولفه های تانسور تنش می باشند. از ترکیب روابط (۴۲) و (۴۵) در سطح $z=0$ میتوان بدست آورد.

$$\begin{aligned} \sigma_{zr m}^{m-1} - i \sigma_{z\theta m}^{m-1} &= P_m^{m-1} - i Q_m^{m-1}, \\ \sigma_{zr m}^{m+1} + i \sigma_{z\theta m}^{m+1} &= P_m^{m+1} + i Q_m^{m+1}, \\ \sigma_{zz m}^m &= R_m^m \end{aligned} \quad (46)$$

حال اگر توابع F_m^m و χ_m^m و مشتقهای آنها در $z=0$ در رابطه (۴۵) جایگزین شده و نتایج در رابطه (۴۶) قرار داده شود می توان نشان داد.

$$\begin{aligned} -A_{44} \xi \eta_1 A_m - A_{44} \xi \eta_2 B_m + \\ i \xi A_{44} \lambda_{m3} C_m &= P_m^{m-1} - i Q_m^{m-1}, \\ A_{44} \xi \eta_1 A_m + A_{44} \xi \eta_2 B_m + \\ i \xi A_{44} \lambda_{m3} C_m &= P_m^{m+1} + i Q_m^{m+1}, \\ A_{33} [v_1 A_m + v_2 B_m] &= R_m^m \end{aligned} \quad (47)$$

که در آن

$$\begin{aligned} \eta_i &= (\alpha_3 - \alpha_2) \lambda_{mi}^2 + \xi^2 (1 + \alpha_1) - \rho_0 \omega^2 \\ v_i &= (\eta_i - \alpha_3 \frac{A_{13}}{A_{33}} \xi^2 - \alpha_3 \lambda_{mi}^2) \lambda_{mi} \end{aligned} \quad (48)$$

معادلات (۴۷) یک سیستم معادلات جبری خطی برای توابع مجهول A_m , B_m , C_m می باشد. اگر این معادلات برای A_m , B_m , C_m در فضای تبدیل یافته هنکل حل شوند آنگاه این توابع به شرح زیر بدست می آیند.

(۵۰) تبدیل معکوس هنکل بگیریم در اینصورت ضرایب m ام سری فوریه مولفه‌های تغییر مکان به شرح زیر بدست می‌آید.

$$\begin{aligned} u_m(r, z) &= -\frac{\alpha_3}{2} \int_0^\infty \zeta [J_{m+1}(\zeta r) - J_{m-1}(\zeta r)] \\ &\quad [\zeta A_m \lambda_{m1} e^{-\lambda_{m1} z} + \zeta B_m \lambda_{m2} e^{-\lambda_{m2} z}] d\zeta - \frac{i}{2} \\ &\quad \int_0^\infty \zeta [J_{m+1}(\zeta r) + J_{m-1}(\zeta r)] \zeta C_m e^{-\lambda_{m3} z} d\zeta, \\ v_m(r, z) &= \frac{i\alpha_3}{2} \int_0^\infty \zeta [J_{m+1}(\zeta r) + J_{m-1}(\zeta r)] \\ &\quad [\zeta A_m \lambda_{m1} e^{-\lambda_{m1} z} + \zeta B_m \lambda_{m2} e^{-\lambda_{m2} z}] d\zeta + \frac{1}{2} \\ &\quad \int_0^\infty \zeta [-J_{m+1}(\zeta r) + J_{m-1}(\zeta r)] \zeta C_m e^{-\lambda_{m3} z} d\zeta, \\ w_m(r, z) &= \int_0^\infty \left[\left(\alpha_2 \lambda_{m1}^2 - (1 + \alpha_1) \left(\zeta^2 - \frac{\rho_0 \omega^2}{1 + \alpha_1} \right) \right) \zeta A_m e^{-\lambda_{m1} z} \right. \\ &\quad \left. + \left(\alpha_2 \lambda_{m2}^2 - (1 + \alpha_1) \left(\zeta^2 - \frac{\rho_0 \omega^2}{1 + \alpha_1} \right) \right) \zeta B_m e^{-\lambda_{m2} z} \right] J_m(\zeta r) d\zeta \end{aligned} \quad (57)$$

که در آن ضرایب A_m, B_m, C_m بر اساس روابط (۴۸) می‌باشد. با جایگذاری ضرایب m ام سری فوریه تغییر مکان در بسط فوریه مربوطه دامنه مولفه‌های تغییر مکان به شرح زیر بدست می‌آید.

$$\begin{aligned} u(r, \theta, z), v(r, \theta, z), w(r, \theta, z) &= \\ &\sum_{m=-\infty}^{\infty} [u_m(r, z), v_m(r, z), w_m(r, z)] e^{im\theta} \end{aligned} \quad (58)$$

بنابراین بر اساس رابطه (۹) مولفه‌های تغییر مکان عبارتند از:

$$\begin{aligned} U(r, \theta, z, t), V(r, \theta, z, t), W(r, \theta, z, t) &= \\ &[u(r, \theta, z), v(r, \theta, z), w(r, \theta, z)] e^{i\omega t} \end{aligned} \quad (59)$$

نتایج برای تحریک هارمونیک مماس برسط

در تحلیل گذشته جواب کلی معادلات حرکت برای تحریک هارمونیک دلخواه در سطح $z=0$ بدست آمد. در اینجا نتایج بدست آمده قبلی برای بار گسترده یکنواخت با برآیند واحد در جهت افقی (در راستای محور x) موثر بر سطح دایره‌ای به شعاع a ، بررسی می‌گردد. برای بار گسترده یکنواخت با برآیند واحد در جهت افقی (در راستای محور x) موثر بر سطح دایره‌ای به شعاع a

$$\begin{aligned} u_m^{m-1} - iv_m^{m-1} &= \gamma_1(z, \xi) \left(\frac{X_m - Y_m}{2\mu} \right) + \\ &\quad \gamma_2(z, \xi) \left(\frac{X_m + Y_m}{2\mu} \right) + \gamma_3(z, \xi) \left(\frac{Z_m}{\mu} \right), \\ u_m^{m+1} + iv_m^{m+1} &= -\gamma_1(z, \xi) \left(\frac{X_m - Y_m}{2\mu} \right) + \\ &\quad \gamma_2(z, \xi) \left(\frac{X_m + Y_m}{2\mu} \right) - \gamma_3(z, \xi) \left(\frac{Z_m}{\mu} \right), \\ w_m^m &= \Omega_1(z, \xi) \left(\frac{X_m - Y_m}{2\mu} \right) + \Omega_2(z, \xi) \left(\frac{Z_m}{\mu} \right) \end{aligned} \quad (53)$$

که در آن

$$\begin{aligned} \gamma_1(z, \xi) &= \frac{\beta(2\xi^2 - k_s^2)}{R^-(\xi)} e^{-\beta z} - \frac{2\xi^2 \beta}{R^-(\xi)} e^{-\alpha z} \\ \gamma_2(z, \xi) &= \frac{1}{\beta} e^{-\beta z}, \\ \gamma_3(z, \xi) &= \frac{2\xi \alpha \beta}{R^-(\xi)} e^{-\beta z} - \frac{\xi(2\xi^2 - k_s^2)}{R^-(\xi)} e^{-\alpha z}, \\ \Omega_1(z, \xi) &= \frac{-\xi(2\xi^2 - k_s^2)}{R^-(\xi)} e^{-\beta z} + \frac{2\xi \alpha \beta}{R^-(\xi)} e^{-\alpha z}, \\ \Omega_2(z, \xi) &= \frac{-2\xi^2 \alpha}{R^-(\xi)} e^{-\beta z} + \frac{\alpha(2\xi^2 - k_s^2)}{R^-(\xi)} e^{-\alpha z} \end{aligned} \quad (54)$$

در اینجا

$$\begin{aligned} \alpha &= \sqrt{\xi^2 - k_d^2}, \beta = \sqrt{\xi^2 - k_s^2}, k_d = \frac{\omega}{C_d}, k_s = \frac{\omega}{C_s}, \\ R^-(\xi) &= (2\xi^2 - k_s^2)^2 - 4\xi^2 \alpha \beta \end{aligned} \quad (55)$$

بطوری که

$$C_d = \sqrt{\frac{2\mu + \lambda}{\rho}}, C_s = \sqrt{\frac{\mu}{\rho}} \quad (56)$$

C_d و C_s به ترتیب سرعت امواج محوری یا طولی^{۲۵} و پرشی^{۲۶} یا عرضی در محیط‌های ایزوتروپ می‌باشند. Pak در سال ۱۹۸۷ برای محیط نیمه بینهایت با رفتار ایزوتروپ روابط (۵۳) را برای بارگذاری در عمق $z=s$ در مرجع شماره [۱۰] بیان کرده است. اگر در نتایج Pak در مرجع شماره [۱۰]، $s=0$ (بارگذاری در سطح) قرار داده شود، نتایج Pak دقیقاً با روابط (۵۳) معادل می‌گردد. این بدان معنی است که از لحظه تحلیلی نتایج حاضر در این مقاله کاملاً با نتایج ارائه شده توسط Pak در سال ۱۹۸۷ برای مصالح ایزوتروپ مطابقت دارد. اگر از روابط

مولفه‌های بردار تغییر مکان در امتدادهای r, θ, z برای مصالح ایزوتروپ به شرح زیر به دست می‌آید.

$$u(r, \theta, z) = \frac{\cos \theta}{2\pi\mu a}$$

$$\left\{ \begin{array}{l} \int_0^\infty \gamma_1(z, \xi) J_1(\xi a) [J_0(\xi r) - J_2(\xi r)] d\xi \\ + \int_0^\infty \gamma_2(z, \xi) J_1(\xi a) [J_0(\xi r) + J_2(\xi r)] d\xi \end{array} \right\},$$

$$v(r, \theta, z) = \frac{-\sin \theta}{2\pi\mu a}$$

$$\left\{ \begin{array}{l} \int_0^\infty \gamma_1(z, \xi) J_1(\xi a) [J_0(\xi r) + J_2(\xi r)] d\xi \\ + \int_0^\infty \gamma_2(z, \xi) J_1(\xi a) [J_0(\xi r) - J_2(\xi r)] d\xi \end{array} \right\},$$

$$w(r, \theta, z) = \frac{\cos \theta}{\pi\mu a} \int_0^\infty \Omega_1(z, \xi) J_1(\xi a) J_1(\xi r) d\xi \quad (64)$$

که در آن γ_1 ، γ_2 و Ω_1 براساس روابط (۵۴) می‌باشند. رابطه (۶۴) دقیقاً معادل با نتایج ارائه شده توسط Pak در مرجع شماره [۱۰] برای تحریک در سطح ($s=0$) می‌باشد.

نتایج عددی

همان طور که ملاحظه شد مولفه‌های بردار تغییر مکان بصورت انتگرال‌های یک بعدی نیمه متناهی با توابع انتگران γ (تابع زیر علامت انتگرال) مختلط بdst آمده‌اند. این انتگرال‌ها حتی در حالت‌های ساده مربوط به مصالح ایزوتروپ هم به صورت تحلیلی قابل انتگرال‌گیری نیستند. لذا این انتگرال‌ها به صورت عددی برآورد شده‌اند. توابع انتگران توابعی پیچیده با رفتار نوسانی به علت وجود توابع بسل می‌باشند. توابع بسل در بی‌نهایت به سمت صفر میل می‌کنند، اما روند همگرایی این توابع در بی‌نهایت بسیار کند می‌باشد، به همین دلیل یکی از موارد مهم در برآورد انتگرال‌ها تعیین بی‌نهایت فیزیکی است. همچنین توابع انتگران شامل نقاط تکین محدودی می‌باشند. این نقاط تکین شامل نقاط شاخه‌ای و قطب می‌باشند. در حالت کلی برای مصالح ایزوتروپ جانبی سه بعدی سه نقطه شاخه‌ای در مسیر انتگرال‌گیری وجود دارد. این نقاط بر اساس رابطه (۳۷) در λ_{m_i} ($i=1, 2, 3$) واقع شده‌اند. در حالت کلی برای یک ماده ایزوتروپ جانبی سه بعدی سه موج حجمی وجود دارد. نقاط شاخه‌ای فوق در واقع اعداد موج λ متناظر با این امواج هستند. حرکت متناظر با این امواج نه بطور خالص برشی و نه به طور

مولفه‌های بردار بارگذاری عبارتند از:

$$\left[\begin{array}{l} P, Q, R \end{array} \right] (r, \theta, t) = \left(\frac{\cos \theta}{\pi a^2}, -\frac{\sin \theta}{\pi a^2}, 0 \right) e^{i\omega t}$$

$$\left\{ \begin{array}{l} \pi_s = \{(x, y, z) \mid x^2 + y^2 < a^2, z = 0\} \end{array} \right\} \quad (60)$$

در اینصورت می‌توان نشان داد مولفه‌های تابع بارگذاری در فضای فوریه به شرح زیر است:

$$P_1(r) = P_{-1}(r) = \begin{cases} \frac{1}{2\pi a^2}, & r < a \\ 0, & r \geq a \end{cases}$$

$$P_m(r) = 0 \quad \text{For } m \neq \pm 1;$$

$$Q_1(r) = -Q_{-1}(r) = \begin{cases} i \frac{1}{2\pi a^2}, & r < a \\ 0, & r \geq a \end{cases}$$

$$Q_m(r) = 0 \quad \text{For } m \neq \pm 1;$$

$$R_m(r) = 0 \quad \text{For all } m$$

(61)

با جایگذاری روابط (۶۱) در رابطه (۵۲) می‌توان نشان داد.

$$X_m = \begin{cases} \frac{J_1(\xi a)}{\pi \xi a}, & m = 1 \\ 0, & m \neq 1 \end{cases}$$

$$Y_m = \begin{cases} \frac{J_1(\xi a)}{\pi \xi a}, & m = -1 \\ 0, & m \neq -1 \end{cases}$$

$$Z_m = 0 \quad \text{For all } m$$

(62)

ترکیب روابط (۴۹)، (۵۲)، (۵۷)، (۵۸) و (۶۲) منجر به مولفه‌های بردار تغییر مکان در امتدادهای r, θ, z به شرح زیر می‌شود.

$$u(r, \theta, z) = \frac{\cos \theta}{2\pi A_{44}a}$$

$$\left\{ \begin{array}{l} \int_0^\infty \Gamma_1(z, \xi) J_1(\xi a) [J_0(\xi r) - J_2(\xi r)] d\xi \\ + \int_0^\infty \Gamma_2(z, \xi) J_1(\xi a) [J_0(\xi r) + J_2(\xi r)] d\xi \end{array} \right\},$$

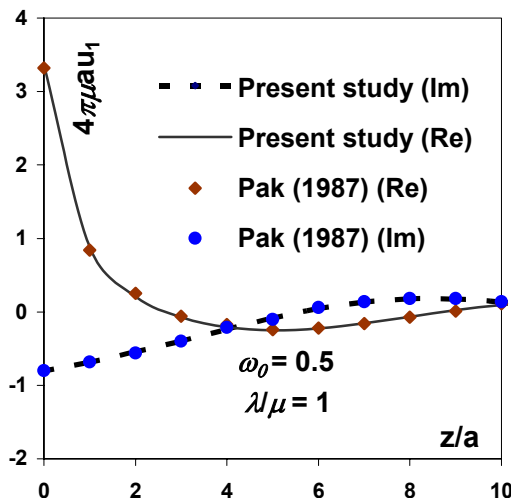
$$v(r, \theta, z) = \frac{-\sin \theta}{2\pi A_{44}a}$$

$$\left\{ \begin{array}{l} \int_0^\infty \Gamma_1(z, \xi) J_1(\xi a) [J_0(\xi r) + J_2(\xi r)] d\xi \\ + \int_0^\infty \Gamma_2(z, \xi) J_1(\xi a) [J_0(\xi r) - J_2(\xi r)] d\xi \end{array} \right\},$$

$$w(r, \theta, z) = \frac{\cos \theta}{\pi A_{44}a} \int_0^\infty \Lambda_1(z, \xi) J_1(\xi a) J_1(\xi r) d\xi \quad (63)$$

گر در روابط (۶۳)، A_{11} تا A_{66} برای مصالح ایزوتروپ بر حسب ضرایب لامه λ و μ از رابطه (۴) جایگزین گردد.

است. جدول (۱) تغییر مکان‌های بی بعد ناشی از بار گستردگی یکنواخت p موثر بر سطح دایره‌های به شعاع a را در حالت استاتیک و برای مصالح ایزوتروپ نشان می‌دهد. در این جدول نتایج عددی حاصل از مطالعه حاضر با نتایج عددی ارائه شده توسط Rajapakse [۱۲] و نتایج عددی ارائه شده توسط Rajapakse و Wang [۱۳] مقایسه شده است. تطابق خوب جواب‌ها معرف صحت نتایج عددی بدست آمده در این بخش می‌باشد. ذکر این نکته ضروری است که نتایج برای حالت استاتیک با قرار دادن $\omega = 0$ برای حالت دینامیک بدست آمده است. شکل (۳) مقایسه نتایج عددی را برای حالت دینامیکی نشان می‌دهد. برای مقایسه نتایج در حالت دینامیکی از نتایج ارائه شده توسط Pak در سال ۱۹۸۷ [۱۰] برای مصالح ایزوتروپ و برای تغییر مکان افقی ناشی از بار گستردگی یکنواخت با برآیند واحد موثر بر سطح دایره‌های به شعاع a استفاده شده است. در این شکل نتایج تحقیقات Pak به صورت نقاط تو پر نشان داده شده است. تطابق خوب جواب‌ها چه در قسمت حقیقی و چه در قسمت موهومی معرف صحت نتایج بدست آمده در این مقاله می‌باشد.



شکل ۳: مقایسه مولفه تغییر مکان در جهت محور x بر حسب عمق در فضای نیمه متنه‌ای با رفتار ایزوتروپ.

به منظور ارائه نتایج عددی، ۳ نوع مصالح مختلف با رفتار ایزوتروپ جانبی به همراه یک نوع مصالح ایزوتروپ در نظر گرفته شده است. جدول (۲) خصوصیات مکانیکی را برای این مواد ارائه می‌کند. نتایج گرافیکی برای مصالح معرفی شده در جدول (۲) در شکل (۴) نشان داده شده است.

خالص محوری است [۱۰]. اما برای حالت مربوط به مصالح ایزوتروپ تعداد نقاط شاخه‌ای فوق به دو کاهش می‌یابد:

$$\zeta_{\lambda_{m_1}} = k_d = \frac{\omega}{C_d}, \zeta_{\lambda_{m_2}} = \zeta_{\lambda_{m_3}} = k_s = \frac{\omega}{C_s} \quad (65)$$

همانطور که قبله "بیان شد C_d و C_s به ترتیب سرعت امواج محوری یا طولی و برشی یا عرضی می‌باشند. علاوه بر این عبارت $(\zeta)_I$ در رابطه (۵۲) قطب‌ها را مشخص می‌کند. قطب‌ها در واقع متناظر با ورود امواج ریلی می‌باشند و مقدار آنها از معادله زیر بدست می‌آید.

$$I(\zeta) = \eta_2 v_1 - \eta_1 v_2 = 0 \quad (66)$$

رابطه (۶۶) در مورد مصالح ایزوتروپ به معادله کلاسیک Rilei کاهش می‌یابد [۷]. Stoneley نشان داده است که رابطه (۶) تنها دو ریشه $\zeta \pm$ در راستای محور اعداد حقیقی دارد [۱۵]. برای مصالح ایزوتروپ $\zeta = \frac{1}{2}\sqrt{3+\sqrt{3}}(\sqrt{\rho\omega/\mu})$ می‌باشد. مقدار ζ برای مصالح مختلف در جدول (۲) آمده است. در روش‌های معمول انترگالگیری عددی مانند روش ذورنفه‌ای یا روش سیمپسون مقدار انترگال از تقسیم بازه انترگال گیری به فواصل مساوی و محاسبه مقادیرتابع انترگران در نقاط با فاصله مساوی از هم برآورد می‌گردد. به علت وجود توابع بسل و توابع نمایی توابع انترگران توابعی پیچیده با رفتار نوسانی و بعضاً "نواحی با تغییرات سریع" می‌باشند. لذا باید روشی اختیار شود که با توجه به تغییرات تابع انترگران در نواحی مختلف بازه انترگالگیری، محاسبه مقادیرتابع انترگران را در نقاط با فاصله نامساوی از هم انجام دهد. با توجه به موارد مهم فوق، باید روش مناسبی جهت برآورد انترگال‌ها اختیار کرد. در روش اختیار شده باید توجه خاصی به بینهایت، قطب و نقاط شاخه‌ای نمود. در اینجا روش Adaptive quadrature [۵] برای برآورد عددی انتخاب شده است. به منظور ارزیابی میزان دقت نتایج عددی حاصل از این مقاله مقایسه‌هایی با نتایج موجود برای مصالح ایزوتروپ انجام گرفته است. ذکر این نکته ضروری است که کلیه نتایج عددی ارائه شده بصورت بی بعد می‌باشد. همچنین فرکانس بی بعد $\omega = a\omega_0\sqrt{\rho/A_{44}}$

جدول ۱ : مقایسه تغییر مکانهای افقی و قائم محیط نیمه بینهایت ایزوتروپ ناشی از بار گستردہ یکنواخت p_0 در راستای محور x موثر بر سطح دایره‌ای به شعاع a (v = ۰,۲۵).

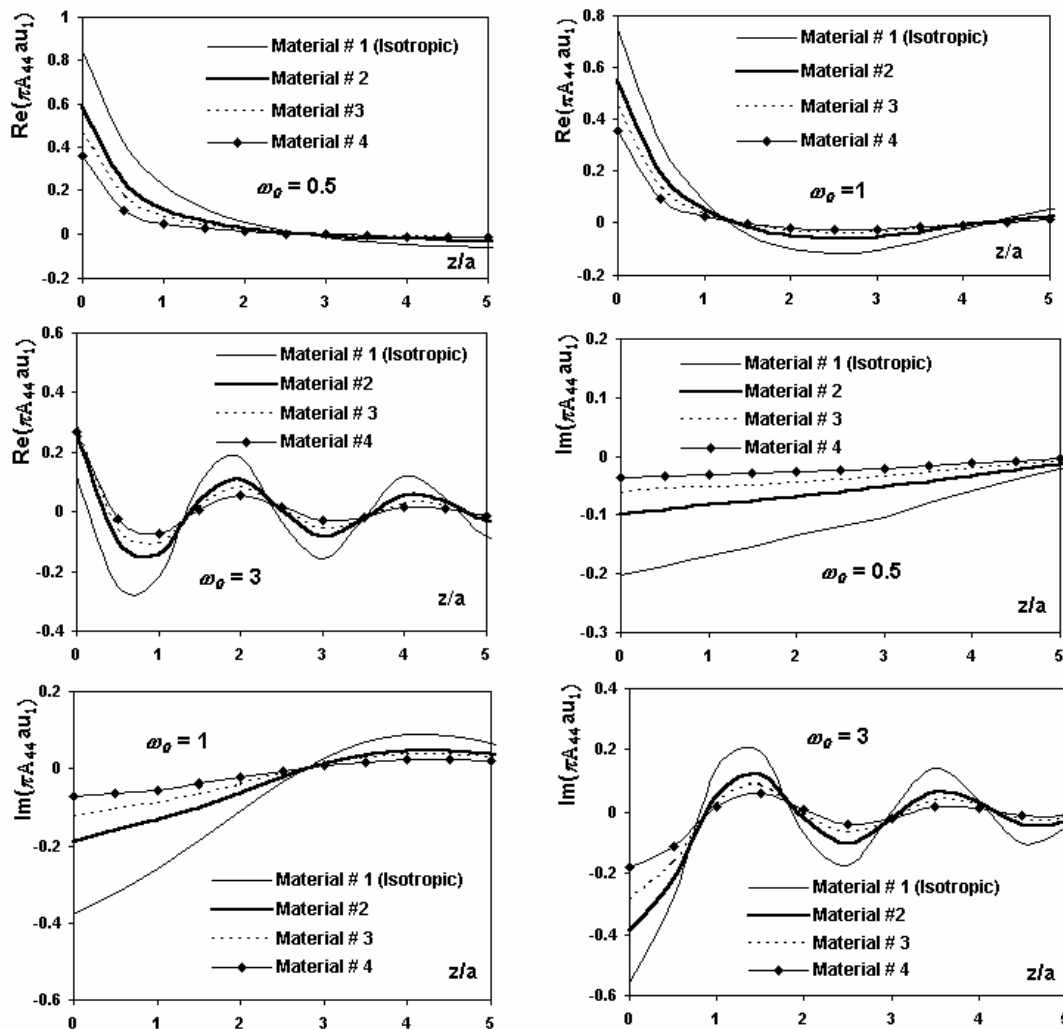
$r/a, \theta, z/a$	$\frac{\mu u}{p_0 a}$			$\frac{\mu w}{p_0 a}$		
	مطالعه حاضر	Rajapakse and Wang (1993)	Rajapakse (1983)	مطالعه حاضر	Rajapakse and Wang (1993)	Rajapakse (1983)
0,0,0	0.8750	0.8758	0.8750	0.0000	0.0	0.0
0,0,0.25	0.6358	0.6367	0.6358	0.0000	0.0	0.0
0,0,1.0	0.2892	0.2898	0.2901	0.0000	0.0	0.0
0,0,2.0	0.1538	0.1542	0.1542	0.0000	0.0	0.0
.5,0,0	0.8216	0.8226	0.8216	0.0625	0.0625	0.0625
1,0,0,0	0.5836	0.5845	0.5835	0.1250	0.1243	0.1250
2,0,0,0	0.2545	0.2554	0.2544	0.0625	0.0626	0.0626

جدول ۲: خصوصیات مکانیکی مصالح مختلف.

مالح	$A_{12} (\times 10^4 \text{ N/mm}^2)$	$A_{13} (\times 10^4 \text{ N/mm}^2)$	$A_{44} (\times 10^4 \text{ N/mm}^2)$	$A_{66} (\times 10^4 \text{ N/mm}^2)$	$A_{33} (\times 10^4 \text{ N/mm}^2)$	$A_{11} (\times 10^4 \text{ N/mm}^2)$	$\frac{\zeta_p \sqrt{A_{44}}}{\sqrt{\rho \omega}}$						
1 (Isotropic)	5	5	2	2	0.25	0.25	6	6	2	2	2	1.08766	
2	10	5	4	2	0.25	0.25	14	7.5	4	2	5	1.03800	
3	15	5	6	2	0.25	0.25	26	10	6	2	10	14	1.02293
4	25	5	10	2	0.25	0.25	110	30	10	2	50	90	1.01146

این است که تغییر مکانها بصورت قابل توجهی متأثر از فرکانس تحریک می باشند. در این نمودارها تغییر علامت در تغییر مکانها را بر حسب عمق می توان مشاهده نمود. قسمت حقیقی مؤلفه تغییر مکان بطور کلی با افزایش فرکانس تحریک کاهش می یابد در حالیکه قسمت موهومی مؤلفه تغییر مکان بطور کلی با افزایش فرکانس تحریک افزایش می یابد. علاوه بر این تأخیر توابع تغییر مکان در ارتباط با فاصله در فرکانسها کم بسیار یکنواخت است در حالیکه در فرکانسها زیاد این تأخیر نوسانی بوده و با افزایش فرکانس نوسانی تر میشود. همچنین با افزایش فرکانس نوسان، طول موج کاهش می یابد. نتایج برای فرکانسها مختلف نشان می دهد که در حالت کلی امواج با فرکانس بی بعد بزرگتر، دیرتر (در فاصله دورتر) مستهلك میشوند.

این نتایج برای فرکانسها مختلف مختص $\omega_0 = 0.5$ و $\omega_0 = 3$ ارائه شده است. نتایج عددی مختلف برای قسمتهای حقیقی و موهومی مؤلفه تغییر مکان افقی ω (در راستای محور x) ناشی از بار گستردہ یکنواخت با برآیند واحد در جهت افقی (در راستای محور x) موثر بر سطح دایره‌ای به شعاع a ارائه شده است. با توجه به این نکته که هم بارگذاری وهم تغییر مکان در راستای افقی (در صفحه ایزوتروپی) است، میتوان انتظار داشت که تغییر مکانها باید بطور خاص متأثر از ضریب E یعنی مدول یانگ در صفحه ایزوتروپی باشند نمودارهای ارائه شده در شکل (۴) این موضوع را به خوبی نشان می دهند. ملاحظه می شود که به خصوص در فرکانسها کم ($\leq \omega_0$) قسمتهای حقیقی و موهومی مؤلفه تغییر مکان افقی با کاهش مقدار ضریب E افزایش می یابد. همچنین مقایسه نمودارهای ارائه شده در شکل (۴) نشان دهنده



شکل ۴: قسمتهای حقیقی و موهومی مولفه تغییر مکان در جهت محور \vec{z} ناشی از بار گستردگی کتواخت با برآیند واحد در جهت حور $\vec{\omega}$ مؤثر بر دایره ای به شعاع α بر حسب عمق.

مولفه های بردار تغییر مکان و توابع پتانسیل در فضای هنکل بصورت تحلیلی بدست آمده است. مولفه های بردار تغییر مکان در فضای واقعی بصورت انتگرال های یک بعدی نیمه متناهی با توابع انتگران (توابع زیر علامت انتگرال) مخلوط بدست آمده اند. توابع انتگران توابعی انتگرال با رفتار نوسانی به علت وجود توابع بسل می باشند. پیچیده با رفتار نوسانی به سمت صفر می کنند، اما روند همگرايی اين توابع در بى نهايیت بسیار كند می باشد، به همين دليل يكى از موارد مهم در برآورد انتگرال ها تعیین بى نهايیت فيزيکي است. همچنان توابع انتگران شامل نقاط تکين محدودی می باشند و در برآورد انتگرال ها باید توجه خاصی به اين نقاط نمود. اين نقاط تکين شامل نقاط شاخه اى و قطب می باشند. در حالت کلى در يك ماده ايزوتropic جانبی سه بعدی سه موج

نتیجه گیری

در این مقاله يك روش تحلیلی برای بدست آوردن پاسخ محیط نیمه بینهایت با رفتار ایزوتروپ جانبی تحت اثر تحریک هارمونیک مماس بسطح آزاد محیط در حالت سه بعدی ارائه شده است. معادلات تعادل دینامیکی حاکم بر مسئله در دستگاه مختصات استوانه ای (r, θ, z) بصورت يك سری معادلات در گیر می باشد که با استفاده از دو تابع پتانسیل که توسط اسکندری قادی در سال ۲۰۰۵ [۶] برای مسائل الاستودینامیک ارائه گردیده است، بطور کامل مجزا سازی شده اند. جواب تحلیلی برای توابع پتانسیل با نوشتن آنها بصورت سری فوریه در امتداد θ و استفاده از تبدیل هنکل در امتداد شعاعی در فضای هنکل بدست آمده است. میدان تغییر مکان با استفاده از ارتباط

بسیار یکنواخت است در حالیکه در فرکانس‌های زیاد این تأخیر نوسانی بوده و با افزایش فرکانس نوسانی تر می‌شود. همچنین با افزایش فرکانس نوسان، طول موج کاهش می‌یابد. نتایج برای فرکانس‌های مختلف نشان می‌دهد که در حالت کلی امواج با فرکانس بی بعد بزرگتر، دیرتر (در فاصله دورتر) مستهلك می‌شوند. تأثیر ناهمسانی مصالح و میزان این نایزوتروپی بر تغییر مکانها در حالت فرکانس‌های کوچک مستقیماً وابسته به اندازه ثابت‌های ارجاعی در این امتدادها می‌باشد در حالی که در فرکانس‌های بزرگ اندازه پاسخ‌ها نه تنها وابسته به اندازه ثابت‌های ارجاعی در امتداد آن توابع پاسخ است بلکه وابسته به بقیه ثابت‌های ارجاعی نیز می‌باشد. میدان تغییر مکان بدست آمده برای حل بسیاری از مسائل الاستودینامیک و همچنین به عنوان هسته برای حل معادلات انتگرال مرزی کاربرد دارد.

حجمی وجود دارد. نقاط شاخه‌ای فوق در واقع اعداد موج متناظر با این امواج هستند. حرکت متناظر با این امواج نه بطور خالص برشی و نه به طور خالص محوری است. همچنین قطب در واقع متناظر با ورود امواج ریلی می‌باشد. نتایج برای محیط‌های ایزوتروپ با استفاده از نتایج بدست آمده برای محیط‌های ایزوتروپ جانبی بصورت تحلیلی بدست آمده و با نتایج موجود برای محیط‌های ایزوتروپ مقایسه شده است. همچنین به منظور تأیید روش انتگرال‌گیری عددی انتخاب شده نتایج عددی برای محیط‌های ایزوتروپ با استفاده از جواب‌های نتیجه شده برای محیط‌های ایزوتروپ جانبی بدست آمده و با نتایج موجود برای محیط‌های ایزوتروپ مقایسه گردیده است. به منظور نشان دادن تأثیر فرکانس تحریک و میزان نایزوتروپی مصالح بر پاسخ، نتایج عددی مختلف برای مولفه‌های تغییر مکان ارائه گردیده است. تأثیر توابع تغییر مکان در ارتباط با فاصله در فرکانس‌های کم

مراجع

- 1 - Achenbach, J. D. (1973). *Wave propagation in elastic solids*. North-Holland Publishing Co., Amsterdam, The Netherlands.
- 2 - Aki, K. and Richards, P. G. (1980). *Quantitative seismology theory and methods*. W. H. Freeman and Co., New York, N. Y.
- 3 - Apsel, R. J. and Luco, J. E. (1983). "On the Green's functions for a layered half space part II." *Bull. Seism. Soc. of Am.* Vol. 73, No. 4, PP.931-951.
- 4 - Buchwald, V. T. (1961). "Rayleigh waves in transversely isotropic media." *Quart. J. Mech. and Appl. Math.*, Vol. 14, No. 4, PP.293-317.
- 5 - Burden, Richard L., Faires, J. Douglas. (1993). *Numerical analysis*. PWS-KENT Publishing Company
- 6 - Eskandari-Ghadi, M. (2005), "A complete solutions of the wave equations in the transversely isotropic media." *J. of Elasticity*.
- 7 - Lamb, H. (1904). "On the propagation tremors over the surface the surface of an elastic solid." *Phil. Trans. , Royal Society of London*, Vol. A, No. 203, PP.1-42.
- 8 - Lekhnitskii, S. G. (1981). *Theory of elasticity of an anisotropic body*. Mir Publishers Moscow.
- 9 - Malvern, L. E. (1969). *Introduction to the mechanics of a continuous medium*. Prentice – Hall, Inc.
- 10 - Pak, R. Y. S. (1987). "Asymmetric wave propagation in an elastic half-space by a method of potentials." *J. Appl. Mech.*, Vol. 54, No. 1, PP.121-126.
- 11 - Pekeris, C. L. and Longman, I. (1955). "The motion of the surface of a uniform elastic half-space produced by a buried torque pulse," *Geophys. Journal*, Vol. 1, PP. 146-153.
- 12 - Rajapakse, R. K. N. D., and Wang, Y. (1991). "Elastodynamic Green's functions of an orthotropic half-space." *J. Engrg. Mech., ASCE*, Vol. 117, No. 3, PP.588-604.

- 13 - Rajapakse, R. K. N. D., and Wang, Y. (1993). "Green's functions for transversely isotropic elastic half-space." *J. Engrg. Mech., ASCE*, Vol. 119, No. 9, PP.1724-1746.
- 14 - Sneddon, I. N. (1951). *Fourier transforms*. McGraw-Hill, New York, N. Y.
- 15 - Stoneley, R. (1949). "The seismological implications of aelotropy in continental structures." *Royal Astronomical Soc. Monthly Notices, Geophysical Supplement*, London, England, Vol. 5, PP. 343-353.
- 16 - Synge, J. L. (1957). "Elastic waves in anisotropic media." *J. Math. and Physics*, Vol. 35, No.35, PP.323-334.

واژه های انگلیسی به ترتیب استفاده در متن

- | | |
|-------------------------------|---------------------------|
| 1 - Transversely Isotropic | 2 - Coupled |
| 3 - Potential Function | 4 - Elastodynamic |
| 5 - Complex Fourier Expansion | 6 - Hankel Transform |
| 7 - Kernel | 8 - Branch Points |
| 9 - Pole | 10 - Anisotropic |
| 11 - Orthotropic | 12 - Rayleigh Waves |
| 13 - Integral Transforms | 14 - Transformed Domain |
| 15 - Physical Domain | 16 - Stress Tensor |
| 17 - Lame Coefficients | 18 - Inverse Transform |
| 19 - Bessel Function | 20 - Multiple Valued |
| 21 - Single Valued | 22 - Branch Cut |
| 23 - Singular Point | 24 - Radiation Conditions |
| 25 - Longitudinal Waves | 26 - Shear Waves |
| 27 - Integrand Functions | 28 - Body wave |
| 29 - Wave Numbers | |